

# 大豆 BBi 基因 ihpRNA 种子特异性表达载体的构建

付永平, 张君, 王丕武, 周海涛, 曲静

(吉林农业大学 农学院, 吉林 长春 130118)

**[摘要]** 【目的】构建具有大豆蛋白酶抑制剂 BBi 基因反向重复结构的 ihpRNA 种子特异性表达载体, 并将其转入根癌农杆菌中, 为大豆品质改良奠定基础。【方法】采用 PCR 技术克隆大豆蛋白酶抑制剂 BBi 基因的正义和反义片段、大豆种子特异性启动子  $7\alpha P$  和作为内含子的 GFP 基因片段, 分别连入克隆载体 pMD18-T Vector 中。然后根据植物中 ihpRNA 原理, 以植物表达载体 pCAMBIA1301 为基础, 将组成 RNAi 载体的 4 个目的片段分别连入其中, 然后利用冻融法转化根癌农杆菌, 并进行 PCR 鉴定。【结果】PCR 扩增得到组成 RNAi 载体的 4 个目的片段, 分别构建成重组克隆载体和 ihpRNA 种子特异性表达载体 p $7\alpha P$ -GFP-BBiS, 并转化得到含有 p $7\alpha P$ -GFP-BBiS 的农杆菌 EHA101 和 EHA105。【结论】成功构建了具有 BBi 基因反向重复结构的 ihpRNA 种子特异性表达载体 p $7\alpha P$ -GFP-BBiS, BBi 基因的 ihpRNA 表达框架成功转入到农杆菌中。

**[关键词]** 大豆; 蛋白酶抑制剂 BBi 基因; ihpRNA 表达载体; 种子特异性启动子

**[中图分类号]** Q782; Q943.2

**[文献标识码]** A

**[文章编号]** 1671-9387(2010)01-0083-07

## Construction of ihpRNA seed-specific expressed vector of Bowman-Birk inhibitor gene from soybean

FU Yong-ping, ZHANG Jun, WANG Pi-wu, ZHOU Hai-tao, QU Jing

(College of Agriculture, Jilin Agricultural University, Changchun, Jilin 130118, China)

**Abstract:** 【Objective】The ihpRNA seed-specific expressed vector of Bowman-Birk inhibitor gene from soybean was constructed, and then introduced into *Agrobacterium tumefaciens* to lay a foundation for quality improvement of soybean. 【Method】In this paper, the BBi gene, soybean seed-specific promoter  $7\alpha P$  and the fragment of GFP gene which were used as intron were isolated by PCR method, and then inserted into pMD18-T Vector respectively. The ihpRNA seed-specific expressed vector p $7\alpha P$ -GFP-BBiS with inverted repeats of BBi genes, seed-specific promoter  $7\alpha P$  and GFP gene was constructed based on the vector of pCAMBIA1301. p $7\alpha P$ -GFP-BBiS was introduced into EHA101 and EHA105 of *A. tumefaciens* respectively. 【Result】The BBi gene, soybean seed-specific promoter  $7\alpha P$  and the fragment of GFP gene were cloned, and the four recombinant cloned vectors and the ihpRNA seed-specific expressed vector p $7\alpha P$ -GFP-BBiS were constructed. The EHA101 and EHA105 which had p $7\alpha P$ -GFP-BBiS were obtained. 【Conclusion】The ihpRNA seed-specific expressed vector p $7\alpha P$ -GFP-BBiS was constructed with inverted repeats of BBi gene, seed-specific promoter  $7\alpha P$  and GFP gene, and the RNAi constructs were transformed into *A. tumefaciens*.

**Key words:** soybean; Bowman-Birk inhibitor gene; ihpRNA expression vector; seed-specific promoter

\* [收稿日期] 2009-05-14

[基金项目] 教育部博士点基金项目(20070193005)

[作者简介] 付永平(1981—), 女, 吉林长春人, 博士, 主要从事大豆分子育种研究。E-mail: yongpingf@yahoo.com.cn

[通信作者] 王丕武(1958—), 男, 吉林长春人, 教授, 博士生导师, 主要从事作物生物技术和遗传育种研究。

E-mail: peiwuw@yahoo.com.cn

大豆蛋白酶抑制剂有 Kunitz 型胰蛋白酶抑制剂 (Kunitz trypsin inhibitor, KTi)<sup>[1]</sup> 和 Bowman-birk 型蛋白酶抑制剂 (Bowman-birk trypsin inhibitor, BBi)<sup>[2]</sup> 2 种, 其约占种子蛋白质干质量的 2%, 其中 BBi 含量为 0.6% 左右, 蛋白质分子质量为 8 ku, 可同时抑制胰蛋白酶和胰凝乳蛋白酶活性<sup>[3]</sup>。蛋白酶抑制剂不仅是一种保护大豆免受昆虫和病原体攻击的蛋白质, 而且是大豆品质的主要营养抑制因子之一。生大豆抗营养作用的 40% 是由蛋白酶抑制因子引起的, 主要表现在抑制畜禽小肠胰蛋白酶和胰凝乳蛋白酶活性, 降低其对饲料蛋白质的消化吸收, 从而引起畜禽生长停滞及胰腺肥大和增生等<sup>[4]</sup>。有研究表明, 在采用热失活方法消除大豆抗营养因子时, 因为 BBi 具有热稳定性, 大部分会残留。在大豆制品中, 从而影响豆制品的品质和新产品的开发<sup>[5]</sup>。因此, 创制缺失 Bowman-birk 型蛋白酶抑制剂的优质大豆新种质, 可有效提高大豆的营养价值和加工品质。

RNA 干扰是指一些小的双链 RNA (double-stranded RNA, dsRNA) 高效、特异地阻断体内相应基因的表达, 促使 mRNA 降解, 使细胞表现出特定基因缺失的一种转录后水平的基因沉默方法<sup>[6]</sup>。近年来, RNA 干扰 (RNA interference, RNAi) 技术发展迅速, 已成为验证未知基因功能和改良植物品质的有力工具, 且已在水稻<sup>[7]</sup>、玉米<sup>[8]</sup>、大豆<sup>[9]</sup>、大麦<sup>[10]</sup>、小麦<sup>[11]</sup>、马铃薯<sup>[12]</sup>和棉花<sup>[13]</sup>等多种农作物的品种改良中得到应用, 但在大豆的品质改良中尚未见报道。因此, 本研究利用基因工程技术, 结合种子特异性启动子, 构建了具有 BBi 基因反向重复结构的 ihpRNA 种子特异性表达载体 p7 $\alpha$ P-GFP-BBiS, 并将该表达载体转化到根癌农杆菌 (*Agrobacterium tumefaciens*) 中, 以期为进一步利用 RNAi 技术在种子特定部位调控 BBi 基因表达、阻止蛋白酶抑制剂的生物合成、获得低含量或不含蛋白酶抑制剂 BBi 的缺失体, 继而改良大豆品质奠定基础。

## 1 材料与方法

本试验在吉林农业大学生物技术中心实验室完成。

### 1.1 材 料

1.1.1 植物材料和质粒 大豆品种“吉农 18”, 由吉林农业大学生物技术中心实验室提供。大肠杆菌 DH5 $\alpha$ , 根癌农杆菌 EHA101 和 EHA105, 植物表达载体 pCAMBIA1301、AHLG 和 p7 $\alpha$ P-GUS, 均由吉

林农业大学生物技术中心实验室保存。pMD18-T Vector 克隆载体购自 TaKaRa 公司。

1.1.2 酶和试剂 *Taq* DNA 聚合酶、dNTP、限制性内切酶、T<sub>4</sub> DNA 连接酶、DNA Marker、Agarose Gel DNA Purification Kit、Total RNA Extraction Kit、AMV 反转录试剂盒、质粒小量抽提试剂盒, 均购自 TaKaRa 和 MBI 公司; 引物由北京三博远志生物技术有限公司合成; 其他常规试剂采用进口分装或国产分析纯 AR 级。

### 1.2 方 法

1.2.1 大豆幼胚总 RNA 的提取 取授粉 6 周后的大豆幼胚, 参照 Total RNA Extraction Kit 说明书提取总 RNA, 用 M-MLV Reverse Transcriptase 合成 cDNA。

1.2.2 组成 RNAi 载体的 4 个基因片段的克隆 根据 GenBank 中已发表的大豆蛋白酶抑制剂 BBi 基因的 cDNA 序列 (GenBank K01967)、大豆 7S 蛋白  $\alpha$  亚基基因的启动子序列 (GenBank FJ572966) 和 GFP 基因序列 (GenBank EF546437), 应用 Primer Premier 5.0 引物设计软件分别设计特异性引物, 考虑到 4 个目的片段在 RNAi 表达载体的插入位置和顺序, 分别在引物的 5' 端设计不同的限制性内切酶酶切位点和保护碱基。引物序列如下: BBiZ1: 5' GGG TCT AGA ATG GTG GTG CTA AAG GT 3' (*Xba* I); BBiZ2: 5' TTT CTG CAG TTC CTT GTC ATC CTC AC 3' (*Pst* I)。BBiF1: 5' GGG AGA TCT ATG GTG GTG CTA AAG GT 3' (*Bgl* II); BBiF2: 5' TTG GGT TACC TTC CTT GTC ATC CTC AC 3' (*Bst*E II)。7 $\alpha$ P1: 5' GGG CAA TTC TGC TTG GAT TTG GAC CAG AC 3' (*Eco*R I); 7 $\alpha$ P2: 5' TTT TCT AGA TAG GAT ATT GAA CTA GTT CT 3' (*Xba* I)。GFP1: 5' TTT CTG CAG ATG GTG AGC AAG GGC GA 3' (*Pst* I); GFP2: 5' GGG AGA TCT TTA CTT GTA CAG CTC GTC 3' (*Bgl* II)。

(1) 作为茎体 (stem) 的 BBi 基因的克隆。以上述获得的 cDNA 为模板, 通过 RT-PCR 扩增大豆蛋白酶抑制剂 BBi 基因的正义片段 BBiZ 和反义片段 BBiF。PCR 扩增条件为: 94 °C 预变性 5 min; 94 °C 变性 40 s, 48 °C 退火 40 s, 72 °C 延伸 50 s, 28 个循环; 72 °C 后延伸 30 min。

(2) 大豆种子特异性启动子 7 $\alpha$ P 的克隆。利用质粒小量抽提试剂盒提取植物表达载体 p7 $\alpha$ P-GUS 的质粒 DNA, 以其为模板, 通过 PCR 扩增大豆 7S

蛋白 $\alpha$ 亚基基因的启动子序列 $7\alpha P$ 。PCR 扩增条件为:94℃预变性8 min;94℃变性1 min,68℃退火2.5 min,32个循环;72℃延伸30 min。

(3)作为环体(loop)部分的 GFP 基因的克隆。利用质粒小量抽提试剂盒,提取植物表达载体 AHLG 的质粒 DNA,以其为模板,通过 PCR 扩增作为功能性内含子的 GFP 基因。PCR 扩增条件为:94℃预变性5 min;94℃变性50 s,54℃退火50 s,72℃延伸1 min,28个循环;72℃延伸30 min。

**1.2.3 重组克隆载体的构建与鉴定** 将上述 PCR 扩增产物经琼脂糖凝胶电泳分离,用凝胶回收试剂盒纯化后分别连入克隆载体 pMD18-T Vector;连接产物转化大肠杆菌 DH5 $\alpha$  感受态细胞;通过蓝白斑筛选,挑取白斑,提取质粒 DNA,以其为模板,通过 PCR 和酶切鉴定后测序。测序由北京三博远志生物技术有限公司完成,并通过 DNAMAN 软件对其进行序列分析。

**1.2.4 ihpRNA 表达载体的构建与鉴定** 根据植物中 ihpRNA 原理,以植物表达载体 pCAM-BIA1301 为基础,将启动子 $7\alpha P$ 、BBi 基因正义片段、内含子 GFP 基因、BBi 基因反义片段分别连入植物表达载体,构建具有 BBi 基因的 ihpRNA 种子特异性表达载体 p7 $\alpha P$ -GFP-BBiS。对连入 pCAM-BIA1301 中的启动子、正义片段、内含子和反义片段,分别进行 PCR 和酶切鉴定并测序。

**1.2.5 ihpRNA 表达载体转化根癌农杆菌** 制备根癌农杆菌 EHA105 和 EHA101 感受态细胞,并用质粒小量抽提试剂盒提取 ihpRNA 表达载体 p7 $\alpha P$ -GFP-BBiS 质粒 DNA,采用冻融法<sup>[14]</sup> 分别转入根癌农杆菌 EHA105 和 EHA101 感受态细胞中,在含卡那霉素的 YEP 固体培养基上筛选阳性克隆,对转化得到的单菌落进行 PCR 鉴定。

## 2 结果与分析

### 2.1 大豆幼胚总 RNA 的提取

在大豆授粉 5 周后,大豆蛋白酶抑制剂 BBi 基因开始表达<sup>[3]</sup>,所以选用授粉 6 周后的大豆幼胚提取总 RNA,用体积分数 1% 甲醛琼脂糖凝胶电泳检测,结果见图 1。从图 1 可以清晰看到 28 S 和 18 S rRNA 2 条主带,表明提取的大豆幼胚总 RNA 纯度较高,无明显降解,而且不含有 DNA 和蛋白质条带,完全可以满足反转录的要求。

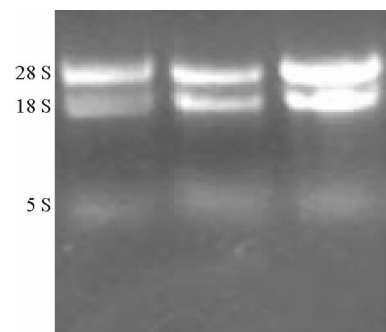


图 1 大豆幼胚总 RNA 的琼脂糖凝胶电泳结果

Fig. 1 Electrophoresis of the total RNA from soybean embryo

### 2.2 组成 RNAi 载体的 4 个基因片段的克隆

4 个基因片段经 PCR 扩增后,扩增产物在 10 g/L 琼脂糖凝胶上电泳,分别得到一条与预期大小相符的特异性条带,电泳结果如图 2 所示。BBi 基因的正义片段 BBiZ 和反义片段 BBiF 约为 320 bp(图 2A),大豆种子特异性启动子 $7\alpha P$ 约为 1 382 bp(图 2B),GFP 基因约为 720 bp(图 2C)。

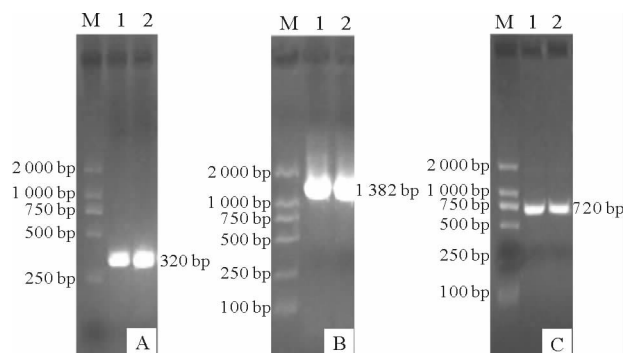


图 2 组成 RNAi 载体的 4 个基因片段的 PCR 产物电泳结果

A. BBi 基因;B. 启动子 $7\alpha P$ ;C. GFP 基因  
M. DNA Marker DL-2000; 1~2. PCR 产物

Fig. 2 Electrophoresis of PCR products from four genes constructing RNAi vector  
A. BBi gene; B.  $7\alpha P$  promoter; C. GFP gene;  
M. DNA Marker DL-2000; 1~2. PCR product

### 2.3 重组克隆载体的构建与鉴定

将上述 PCR 产物电泳回收后,分别连入克隆载体 pMD18-T Vector,提取质粒 DNA,以其为模板,用 BBi 基因的正义片段 BBiZ、反义片段 BBiF,大豆种子特异性启动子 $7\alpha P$  和 GFP 基因的特异引物分别进行 PCR 鉴定。用限制性内切酶 Xba I 和 Pst I 双酶切鉴定正义片段 BBiZ,用 Bgl II 和 BstE II 双酶切鉴定反义片段 BBiF,用 EcoR I 和 Xba I 双酶切鉴定启动子 $7\alpha P$ ,用 Pst I 和 Bgl II 双酶切鉴定 GFP 基因,结果如图 3 所示。由图 3 可见,通过

PCR 扩增分别得到 1 条与目的片段大小一致的条带,通过双酶切分别得到 1 条约为 2 692 bp 的 pMD18-T 载体和 1 条与 PCR 产物大小相同的条带,其中 BBi 基因的正义片段 BBiZ 和反义片段 BBiF 均为 320 bp(图 3A,B),大豆种子特异性启动子 7 $\alpha$ P 为 1 382 bp(图 3C),GFP 基因为 720 bp(图

3D)。然后将 PCR 和双酶切鉴定的重组质粒进行测序,测序结果表明,4 个目的片段与 GenBank 中的参考序列同源性均为 100%。以上结果证明,已成功构建重组克隆载体 pMD18-T-BBiZ、pMD18-T-BBiF、pMD18-T-7 $\alpha$ P 和 pMD18-T-GFP。

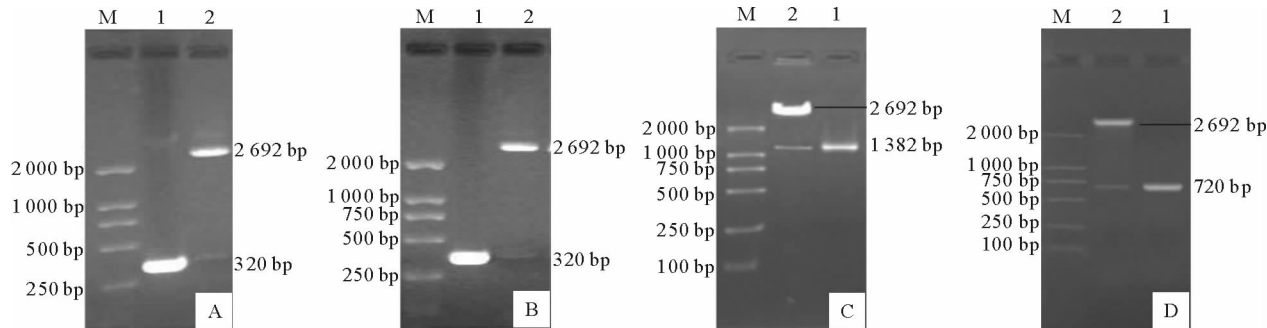


图 3 重组克隆载体的 PCR 和酶切鉴定结果

A. pMD18-T-BBiZ; B. pMD18-T-BBiF; C. pMD18-T-7 $\alpha$ P; D. pMD18-T-GFP

M. DNA Marker DL-2000; 1. PCR 产物; 2. 双酶切产物

Fig. 3 PCR and restriction identification of the recombinant cloned vector

A. pMD18-T-BBiZ; B. pMD18-T-BBiF; C. pMD18-T-7 $\alpha$ P; D. pMD18-T-GFP

M. DNA Marker DL-2000; 1. PCR product; 2. Recombinant cloned vector digested product

#### 2.4 ihpRNA 种子特异性表达载体的构建与鉴定

根据植物中 ihpRNA 原理,以植物表达载体 pCAMBIA1301 为基础,构建具有 BBi 基因反向重

复结构的 ihpRNA 种子特异性表达载体 p7 $\alpha$ P-GFP-BBiS,构建流程见图 4。

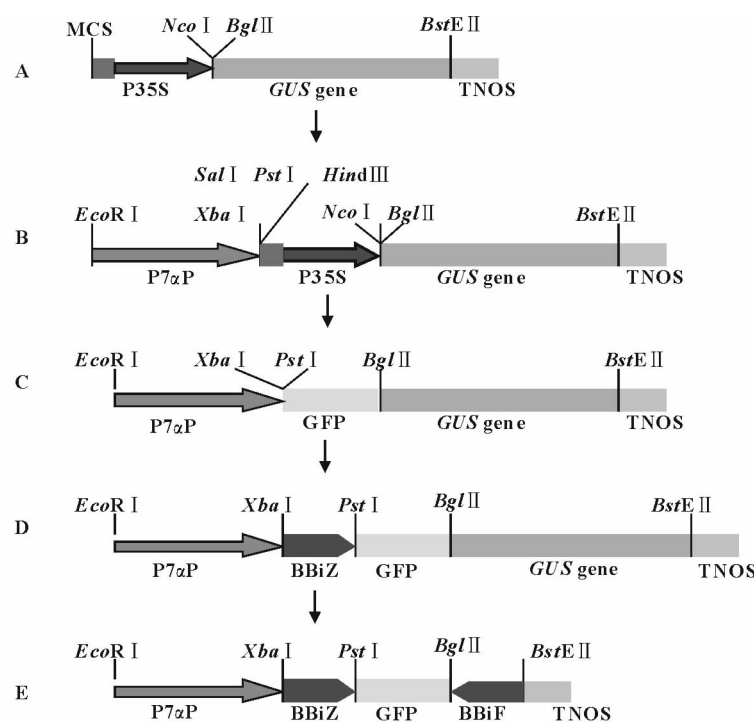


图 4 ihpRNA 种子特异性表达载体的构建流程

A. pCAMBIA1301; B. p1301-7 $\alpha$ P; C. p7 $\alpha$ P-GFP; D. p7 $\alpha$ P-BBiZ-GFP; E. p7 $\alpha$ P-GFP-BBiS

Fig. 4 Flow chart for construction of ihpRNA seed-specific expressed vector

**2.4.1 种子特异性表达载体 p1301-7 $\alpha$ P 的构建与鉴定** 首先利用限制性内切酶 *Eco*R I 和 *Xba* I 分别双酶切 pMD18-T-7 $\alpha$ P 和 pCambia1301, 回收 1 382 bp 的启动子 7 $\alpha$ P 和 pCambia1301 大片段, 用 T<sub>4</sub>DNA 连接酶连接, 转化大肠杆菌 DH5 $\alpha$ , 用含 50 mg/mL Kan 的 LB 抗性平板筛选阳性克隆(图

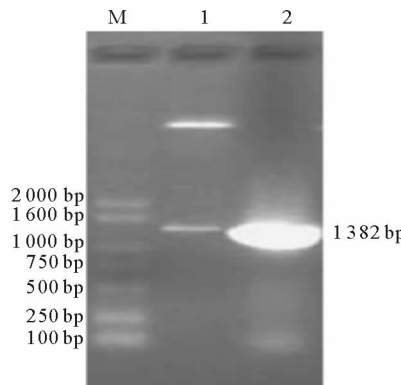


图 5 p1301-7 $\alpha$ P 的 PCR 和酶切鉴定结果

M. DNA Marker DL-2000; 1. *Eco*R I / *Xba* I 双酶切; 2. PCR 产物  
Fig. 5 PCR and restriction identification of p1301-7 $\alpha$ P  
M. DNA Marker DL-2000; 1. p1301-7 $\alpha$ P digested  
by *Eco*R I and *Xba* I ; 2. PCR product

**2.4.2 中间表达载体 p7 $\alpha$ P-GFP 的构建与鉴定** 在构建了种子特异性表达载体 p1301-7 $\alpha$ P 的基础上, 插入作为功能性内含子的 GFP 基因, 构建中间表达载体 p7 $\alpha$ P-GFP(图 4C)。用 *Pst* I 和 *Bgl* II 分别双酶切 p1301-7 $\alpha$ P 和 pMD18-T-GFP, 回收 720 bp 的 GFP 基因和 p1301-7 $\alpha$ P 大片段, 采用 2.4.1 中的方法筛选出阳性克隆。用 GFP 基因的特异引物进行 PCR 鉴定, 用 *Eco*R I 和 *Bgl* II 进行双酶切鉴定, 电泳结果见图 6。以 p7 $\alpha$ P-GFP 质粒 DNA 为模板, PCR 扩增获得的 720 bp 片段与 GFP 基因大小一致, 启动子 7 $\alpha$ P 加上内含子 GFP 的基因大小为 2 102 bp, 与用 *Eco*R I 和 *Bgl* II 双酶切结果的大小一致。由此可见, 内含子 GFP 基因已成功插入到种子特异性表达载体 p1301-7 $\alpha$ P 中, 构建了 RNAi 中间表达载体 p7 $\alpha$ P-GFP。

**2.4.3 重组表达载体 p7 $\alpha$ P-BBiZ-GFP 的构建与鉴定** 在构建了 RNAi 中间表达载体 p7 $\alpha$ P-GFP 的基础上, 插入 BBi 基因正义片段 BBiZ, 构建重组表达载体 p7 $\alpha$ P-BBiZ-GFP(图 4D)。利用限制性内切酶 *Xba* I 和 *Pst* I 分别双酶切 pMD18-T-BBiZ 和 p7 $\alpha$ P-GFP, 回收 320 bp 的 BBi 基因正义片段 BBiZ 和 p7 $\alpha$ P-GFP 大片段, 用 T<sub>4</sub>DNA 连接酶连接, 构建重组表达载体 p7 $\alpha$ P-BBiZ-GFP, PCR 和双酶切电泳

4B)。电泳鉴定结果(图 5)表明, 以重组质粒 DNA 为模板, PCR 和双酶切获得的 1 382 bp 片段与启动子 7 $\alpha$ P 的大小一致, 说明 7 $\alpha$ P 已成功插入到 pCambia1301 中, 种子特异性表达载体 p1301-7 $\alpha$ P 构建成功。

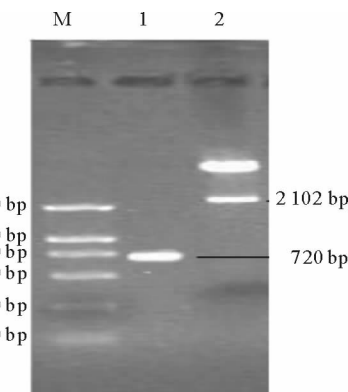


图 6 p7 $\alpha$ P-GFP 的 PCR 和酶切鉴定结果

M. DNA Marker DL-2000; 1. PCR 产物; 2. *Eco*R I / *Bgl* II 双酶切  
Fig. 6 PCR and restriction identification of p7 $\alpha$ P-GFP  
M. DNA Marker DL-2000; 1. PCR product;  
2. p7 $\alpha$ P-GFP digested by *Eco*R I and *Bgl* II

鉴定结果见图 7。以 p7 $\alpha$ P-BBiZ-GFP 质粒 DNA 为模板, 通过 PCR 扩增得到 1 条大小约为 320 bp 的特异带, 通过 *Xba* I 和 *Pst* I 双酶切得到 1 条与 PCR 产物大小相同的条带, 表明 BBi 基因正义片段 BBiZ 插入到 p7 $\alpha$ P-GFP 的启动子 p7 $\alpha$ P 下游, 构建成重组表达载体 p7 $\alpha$ P-BBiZ-GFP。

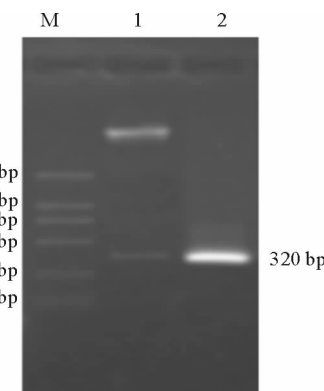


图 7 p7 $\alpha$ P-BBiZ-GFP 的 PCR 和酶切鉴定结果

M. DNA Marker DL-2000;  
1. *Xba* I / *Pst* I 双酶切; 2. PCR 产物  
Fig. 7 PCR and restriction identification of p7 $\alpha$ P-BBiZ-GFP  
M. DNA Marker DL-2000; 1. p7 $\alpha$ P-BBiZ-GFP digested  
by *Xba* I and *Pst* I ; 2. PCR product

2.4.4 ihpRNA 种子特异性表达载体 p7 $\alpha$ P-GFP-BBiS 的构建与鉴定 在构建了重组表达载体 p7 $\alpha$ P-BBiZ-GFP 的基础上,插入 BBi 基因反义片段 BBiF,

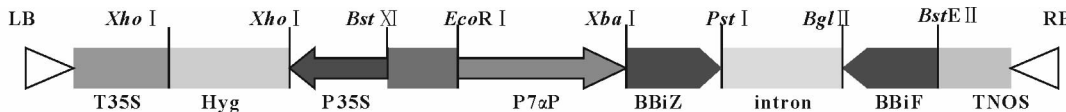


图 8 ihpRNA 种子特异性表达载体 p7 $\alpha$ P-GFP-BBiS 的 T-DNA 区

LB. T-DNA 的左边界;T35S. CaMV35S 终止子;Hyg. 潮霉素磷酸转移酶基因;P35S. CaMV35S 启动子;

P7 $\alpha$ P. 大豆种子特异性启动子 7 $\alpha$ P;intron. GFP 基因;TNOS. 胚胎碱合成酶基因终止子;RB. T-DNA 的右边界

Fig. 8 T-DNA of RNAi constructs of ihpRNA seed-specific expressed vector

LB. The left border of T-DNA; T35S. The terminator of the CaMV35S gene; Hyg. Hygromycin phosphot transferase gene;

P35S. The promoter of CaMV35S; P7 $\alpha$ P. Soybean seed-specific promotor; intron. GFP gene;

TNOS. The terminator of Nopaline synthase gene; RB. The right border of T-DNA

用  $Bgl$  II 和  $Bst$  E II 分别双酶切 p7 $\alpha$ P-BBiZ-GFP 和 pMD18-T-BBiF,回收 320 bp 的 BBi 基因反义片段 BBiF 和 p7 $\alpha$ P-BBiZ-GFP 大片段,采用 2.4.1 中的方法筛选出阳性克隆。分别用 7 $\alpha$ P、GFP、BBi 基因的特异引物、7 $\alpha$ P 的上游引物和 NOS 终止子的下游引物,对 p7 $\alpha$ P-GFP-BBiS 进行 PCR 鉴定,结果见图 9。由图 9 可以看出,分别获得与目的基因大小一致的特异条带,其中通过 7 $\alpha$ P 的上游引物和 NOS 终止子的下游引物 PCR 扩增得到了约为 3 007 bp 的 RNAi 完整结构。用  $Xba$  I 和  $Pst$  I、 $Pst$  I 和  $Bgl$  II、 $Bgl$  II 和  $Bst$  E II 分别对 p7 $\alpha$ P-GFP-BBiS 进

行双酶切鉴定,电泳结果见图 10。图 10 结果表明,用  $Xba$  I 和  $Pst$  I、 $Bgl$  II 和  $Bst$  E II 双酶切,均得到约为 320 bp 的 BBi 基因正义和反义片段条带,用  $Bgl$  II 和  $Bst$  E II 双酶切得到约为 720 bp 的 GFP 基因片段 BBiZ。由此可见,大豆种子特异性启动子 7 $\alpha$ P、BBi 基因正义片段 BBiZ、内含子 GFP 基因、BBi 基因反义片段 BBiF 已经分别连入植物表达载体 pCAMBIA1301 中,并且对完整的 RNAi 表达框架的测序结果进一步证明,已成功构建了具有 BBi 基因反向重复结构的 ihpRNA 种子特异性表达载体 p7 $\alpha$ P-GFP-BBiS。

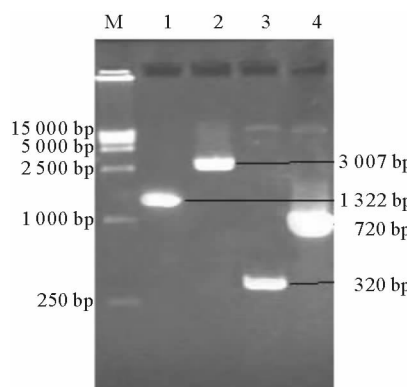


图 9 p7 $\alpha$ P-GFP-BBiS 的 PCR 鉴定结果

M. DNA Marker DL-15000; 1. 启动子 7 $\alpha$ P;

2. 完整 RNAi 结构;3. BBi 基因;4. GFP 基因

Fig. 9 PCR identification of p7 $\alpha$ P-GFP-BBiS

M. DNA Marker DL-15000; 1. 7 $\alpha$ P promoter;

2. The complete RNAi constructs;3. BBi gene;4. GFP gene

## 2.5 p7 $\alpha$ P-GFP-BBiS 载体转化农杆菌

将已构建的 ihpRNA 种子特异性表达载体 p7 $\alpha$ P-GFP-BBiS,通过冻融法分别导入根癌农杆菌 EHA105 和 EHA101 感受态细胞中,用卡那霉素进

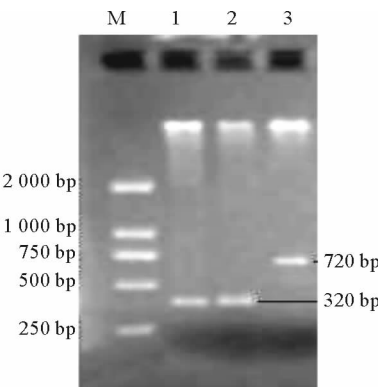


图 10 p7 $\alpha$ P-GFP-BBiS 的酶切鉴定结果

M. DNA Marker DL-2000; 1.  $Xba$  I /  $Pst$  I 双酶切;

2.  $Pst$  I /  $Bgl$  II 双酶切; 3.  $Bgl$  II /  $Bst$  E II 双酶切

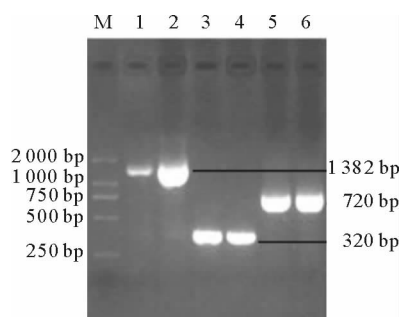
Fig. 10 Restriction identification of p7 $\alpha$ P-GFP-BBiS

M. DNA Marker DL-2000; 1. p7 $\alpha$ P-GFP-BBiS digested by

$Xba$  I and  $Pst$  I; 2. p7 $\alpha$ P-GFP-BBiS digested by  $Pst$  I

and  $Bgl$  II; 3. p7 $\alpha$ P-GFP-BBiS digested by  $Bgl$  II and  $Bst$  E II

行筛选,对转化得到的单菌落分别用 7 $\alpha$ P、GFP、BBi 基因的特异引物进行 PCR 鉴定。由图 11 可知,p7 $\alpha$ P-GFP-BBiS 已分别成功转入农杆菌 EHA105 和 EHA101 中,可直接用于后续的遗传转化。

图 11 p7 $\alpha$ P-GFP-BBiS 转入农杆菌的 PCR 检测

M. DNA Marker DL-2000; 1~2. 启动子 7 $\alpha$ P;  
3~4. BBi 基因; 5~6. GFP 基因

Fig. 11 PCR analysis of p7 $\alpha$ P-GFP-BBiS in *Agrobacterium tumefaciens*

M. DNA Marker DL-2000; 1—2. 7 $\alpha$ P promoter;  
3—4. BBi gene; 5—6. GFP gene

### 3 讨 论

近年来, RNAi 技术在作物遗传改良中显示出了巨大的应用潜力。Stoutjesdijk 等<sup>[15]</sup>利用 RNA 干扰技术成功地在拟南芥中实现了抑制 FAD2 基因表达的目标,且基因抑制效果可在子代稳定传递,首次明确了 RNA 干扰技术在作物种子品质性状改良方面的应用潜力。

本研究根据 RNAi 技术原理,成功构建了具有 ihpRNA 结构的大豆蛋白酶抑制剂 BBi 基因的种子特异性表达沉默载体,为大豆种子中蛋白质的成分改良奠定了基础。在载体构建过程中,由于 BBi 基因不仅在大豆种子中表达,还可在大豆叶片等部位表达而起到抗虫作用,因此,本研究选用大豆 7S 蛋白 $\alpha$ 亚基基因种子特异性启动子,旨在将 RNA 干扰作用限制在种子内部,特异地抑制种子中蛋白酶抑制剂 BBi 基因的表达,而不影响其在大豆其他部位的表达,以充分保证其表达的时空特异性。已有研究表明,如果在靶基因的反向重复序列间加入一段内含子序列,使其在植物体内转录形成 ihpRNA 发夹结构,与 hpRNA 相比,沉默效果可从 55% 提高到 90%<sup>[16]</sup>。因此,本研究构建的 RNAi 表达载体在正义和反义链中间插入一段 GFP 基因作为功能性内含子,以期能最大限度地抑制种子中 BBi 基因的表达。此外,本研究构建的 RNAi 中间植物表达载体 p7 $\alpha$ P-GFP,可用于大豆等其他作物种子特异表达基因的 RNA 干扰试验,还可以通过替换其他组织特异和诱导型启动子,达到特定器官或特定发育时期或阶段基因沉默的目的。

大豆遗传转化研究可利用农杆菌和子叶节转化系统,由于大豆对农杆菌菌株的敏感性不同,所以本研究选用了根瘤农杆菌 EHA105 和 EHA101 作为受体菌株。本研究构建的 ihpRNA 高效表达载体,已应用于大豆转基因工作中,目前已获得具有潮霉素抗性的再生植株,至于该 RNAi 载体能否成功抑制 BBi 基因的表达,还有待于进一步研究。

### [参考文献]

- [1] Kunitz M. Crystalline soybean trypsin inhibitor [J]. Journal Gen Physiol, 1946, 29(3): 149-154.
- [2] Birk Y. Purification and some properties of a highly active inhibitor of trypsin and  $\alpha$ -chymotrypsin from soybeans [J]. Biochem Biophys Acta, 1961, 54: 378-381.
- [3] Hammond R W, Foard D E, Larkins B A. Molecular cloning and analysis of a gene coding for the Bowman-Birk protease inhibitor in soybean [J]. Journal Biol Chem, 1984, 259(15): 9883-9890.
- [4] Rackis J J. Biological and physiological factors in soybeans [J]. Journal Am Oil Chem Soc, 1974, 51(1): 161-174.
- [5] Liener I E. Trypsin inhibitors: Concern for human nutrition or not [J]. Journal Nutr, 1986, 116: 920-923.
- [6] Fire A, Xu S Q, Montgomery M K, et al. Potent and specific genetic interference by double-stranded RNA in *Caenorhabditis elegans* [J]. Nature, 1998, 391(19): 806-811.
- [7] Qiao F, Yang Q, Wang C L, et al. Modification of plant height via RNAi suppression of OsGA20ox2 gene in rice [J]. Euphytica, 2007, 158(1/2): 35-45.
- [8] 柴晓杰,王丕武,关淑艳,等.应用 RNA 干扰技术降低玉米支链淀粉含量 [J].植物生理与分子生物学学报,2005,31(6): 625-630.
- Chai X J, Wang P W, Guan S Y, et al. Reducing the maize amylopectin content through RNA interference manipulation [J]. Journal Plant Physiol Mol Bio, 2005, 31(6): 625-630. (in Chinese)
- [9] Nunes A C, Vianna G R, Cuneo F, et al. RNAi-mediated silencing of the myo-inositol-1-phosphate synthase gene(GmMIPS1) in transgenic soybean inhibited seed development and reduced phytate content [J]. Planta, 2006, 224(1): 125-132.
- [10] Schweizer P, Pokorny J, Schulze-Lefert P, et al. Double-stranded RNA interferes with gene function at the single-cell level in cereals [J]. Plant Journal, 2000, 24(6): 895-903.
- [11] 李根英,夏兰芹,夏先春,等. Pina 和 Pinb 融合基因表达载体的构建及其在硬粒小麦中的转化 [J]. 中国农业科学, 2007, 40(7): 1315-1323.
- Li G Y, Xia L Q, Xia X C, et al. Construction of expression vector harboring Pina and Pinb fused gene and transformation into Durum wheat [J]. Scientia Agricultura Sinica, 2007, 40(7): 1315-1323. (in Chinese)

(下转第 96 页)